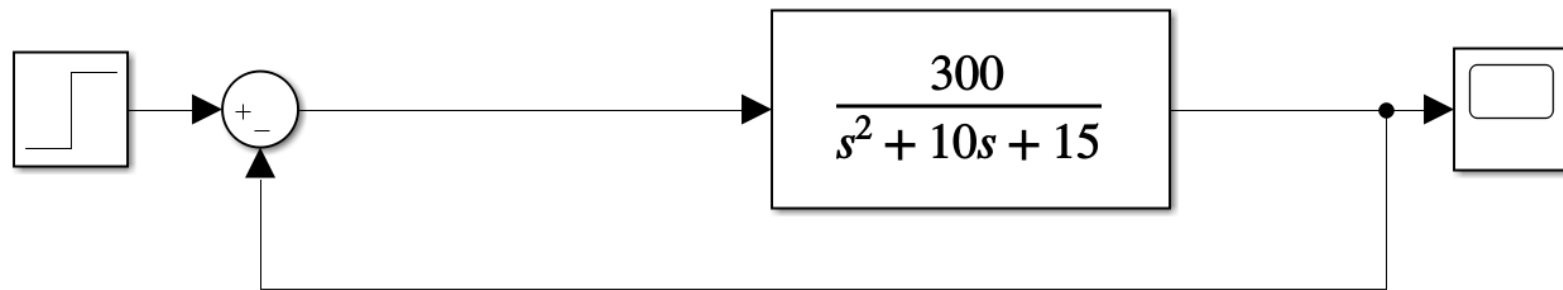


PID TUNING



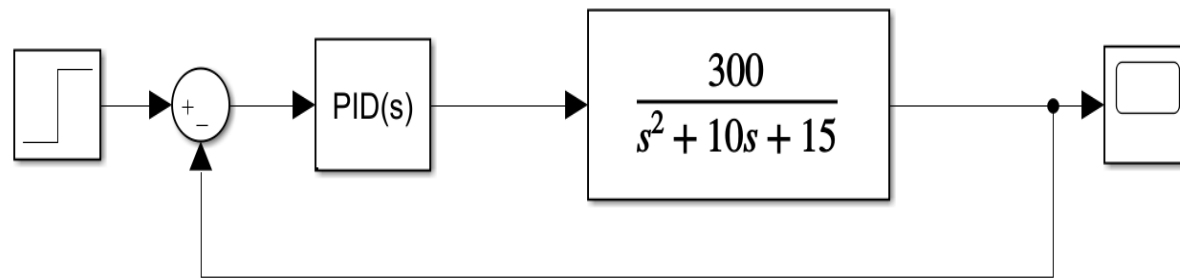
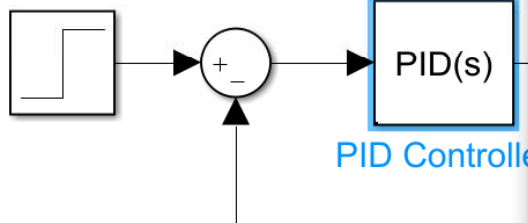


Diagram Simulation Analysis Code Tools Help



untitled



PID Controller

Block Parameters: PID Controller

PID 1dof (mask) (link)

This block implements continuous- and discrete-time PID control algorithms and includes advanced features such as anti-windup, external reset, and signal tracking. You can tune the PID gains automatically using the 'Tune...' button (requires Simulink Control Design).

Controller: **PID** Form: **Parallel**

Time domain:

☒ Continuous-time

☐ Discrete-time

Discrete-time settings

Sample time (-1 for inherited): **-1**

Compensator formula

$$P + I \frac{1}{s} + D \frac{N}{1 + N \frac{1}{s}}$$

Main Initialization Output saturation Data Types State Attributes

Controller parameters

Source: **internal**

Proportional (P): **0.151926695023814**

Integral (I): **0.251340623337439**

Derivative (D): **0.0163317124877831**

☒ Use filtered derivative

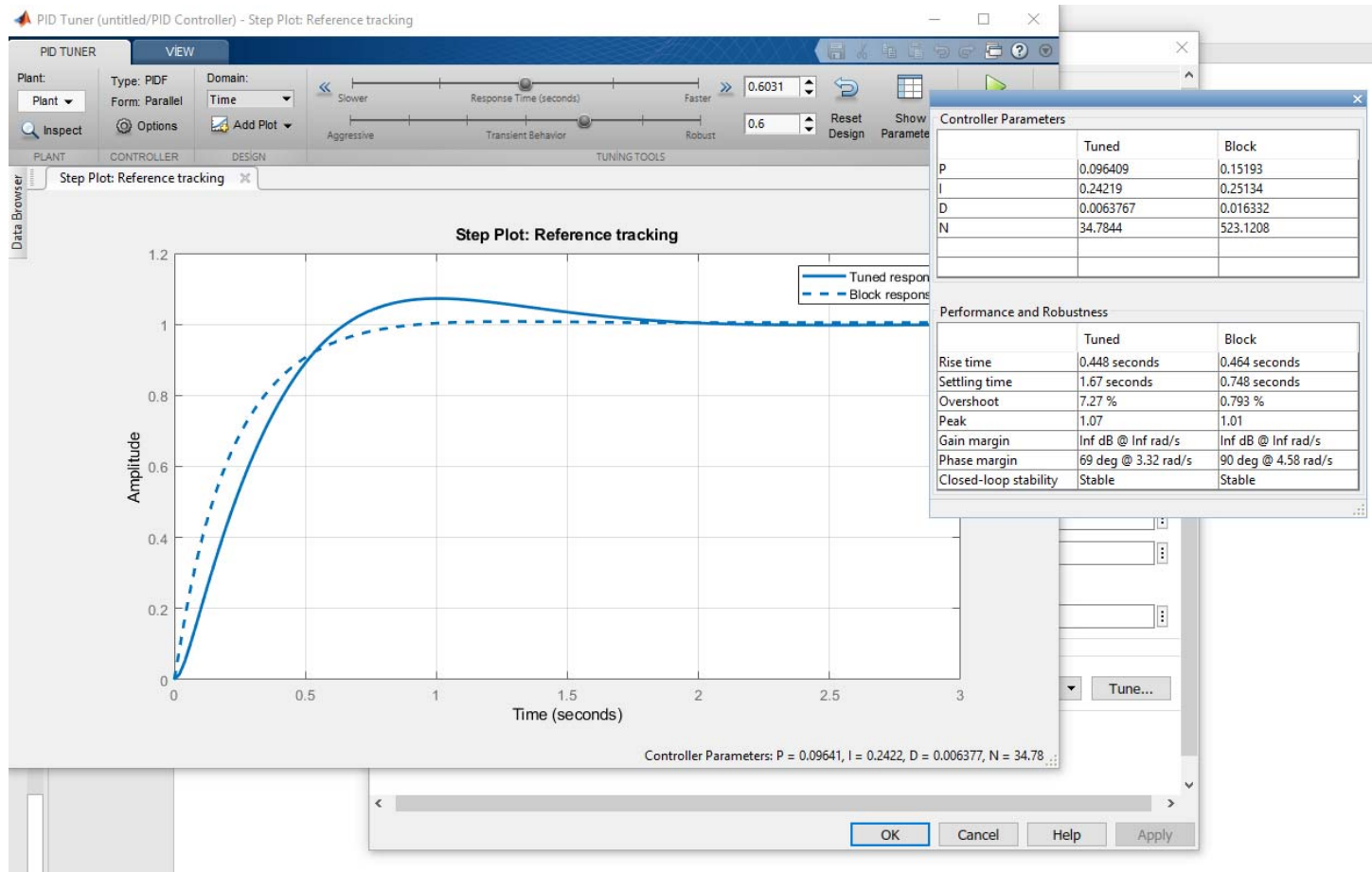
Filter coefficient (N): **523.120775426452**

Automated tuning

Select tuning method: **Transfer Function Based (PID Tuner App)** **Tune...**

☒ Enable zero-crossing detection

OK Cancel Help Apply



SisoTool

9-7. The loop transfer function of a system is

$$G(s)H(s) = \frac{1}{(2s+1)(s+1)(0.5s+1)}$$

Design a PD controller such that the $K_p = 9$ and the phase margin is greater than 25 degrees.

PD controller design

The open-loop transfer function of a system is:

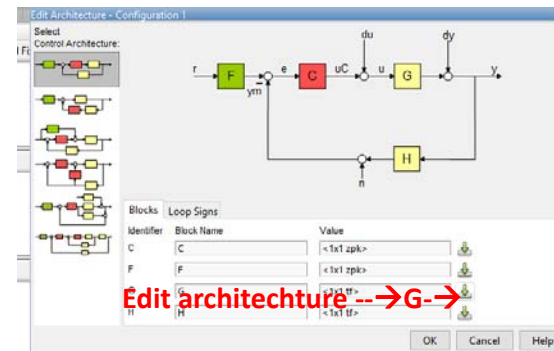
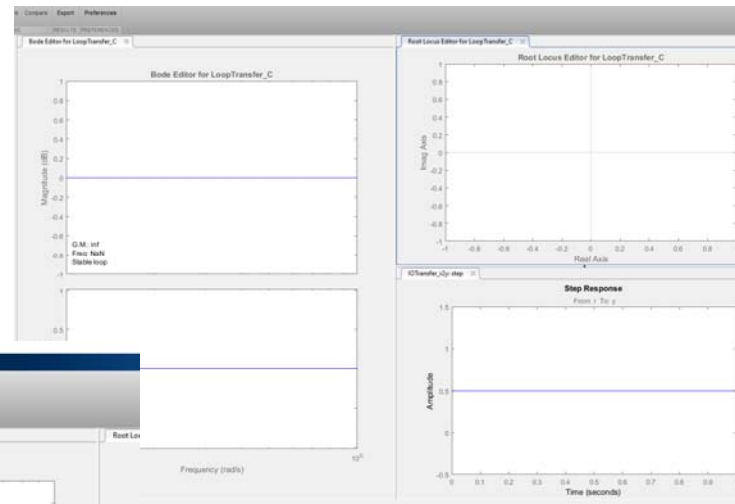
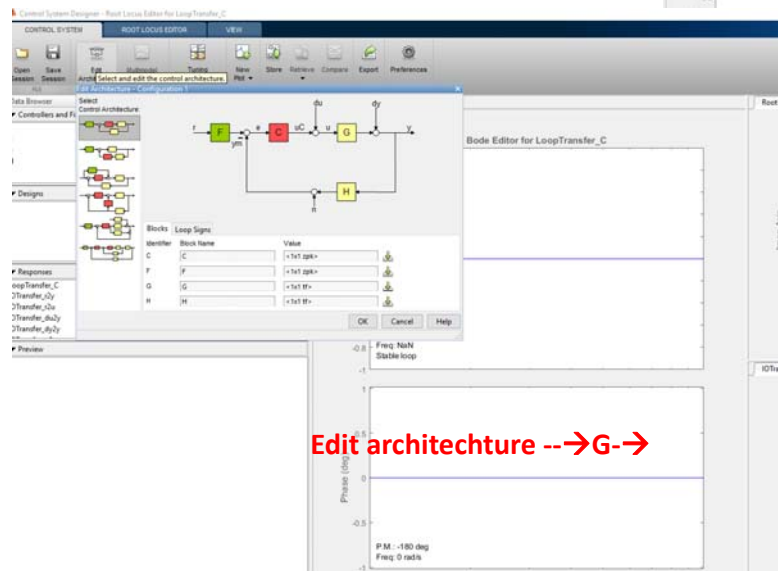
$$G(s)H(s) = \frac{1}{(2s+1)(s+1)(0.5s+1)}$$

The solution is very similar to 9-4. The transfer functions are inserted into sisotool, where another real zero is added to represent the effect of K_d . That is $C(s) = K_p + K_d s = K_p (1 + K_d s / K_p)$, which is called the compensator transfer function in sisotool. The place of real zero is $Z = -K_p / K_d$, and the gain of the compensator is equal to K_p , as noted in the following sisotool window:

Preliminary MATLAB code for 9-7:

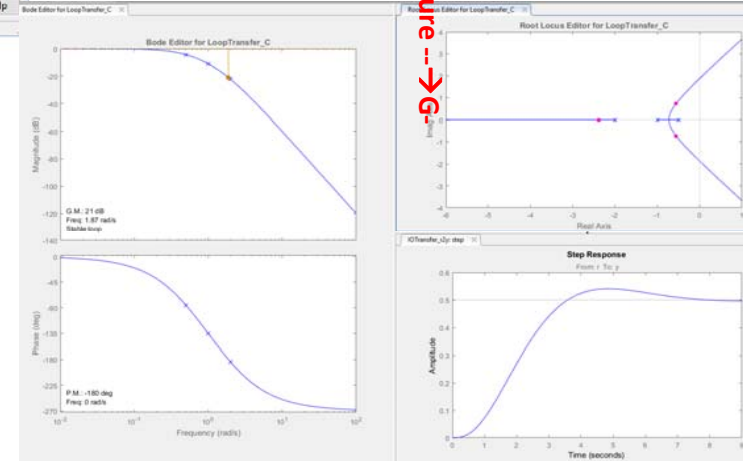
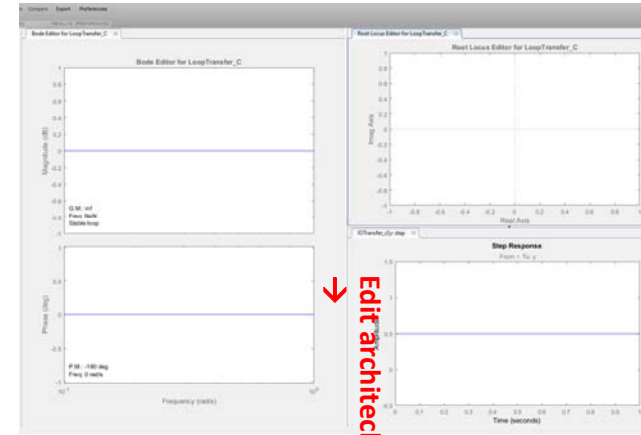
```
s = tf('s')
Kp = 1
num_GH = Kp*s;
den_GH = (2*s+1)*(s+1)*(0.5*s+1);
GH = num_GH/den_GH;
CL = GH/(1+GH)
```

Sisotool



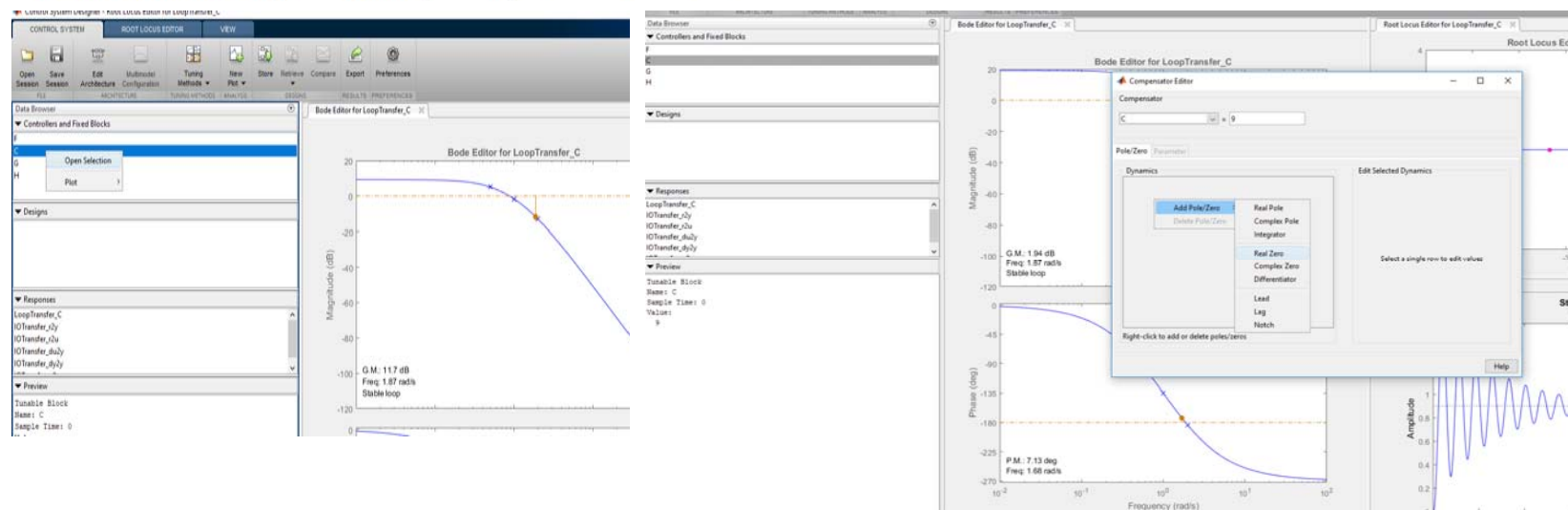


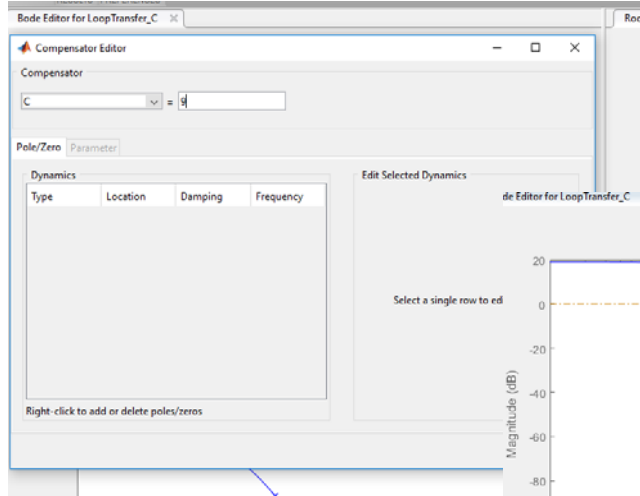
Sisotool çalıştırılmadan önce girilen değerler ekranda gösteriliyor. Buradan g için tasarladığımız GH ı seçip import ediyoruz. Ardından edit arch. Menüüne OK deyip çıkıyoruz. Ekranın yeni haliyle güncellendiğini göreceğiz.



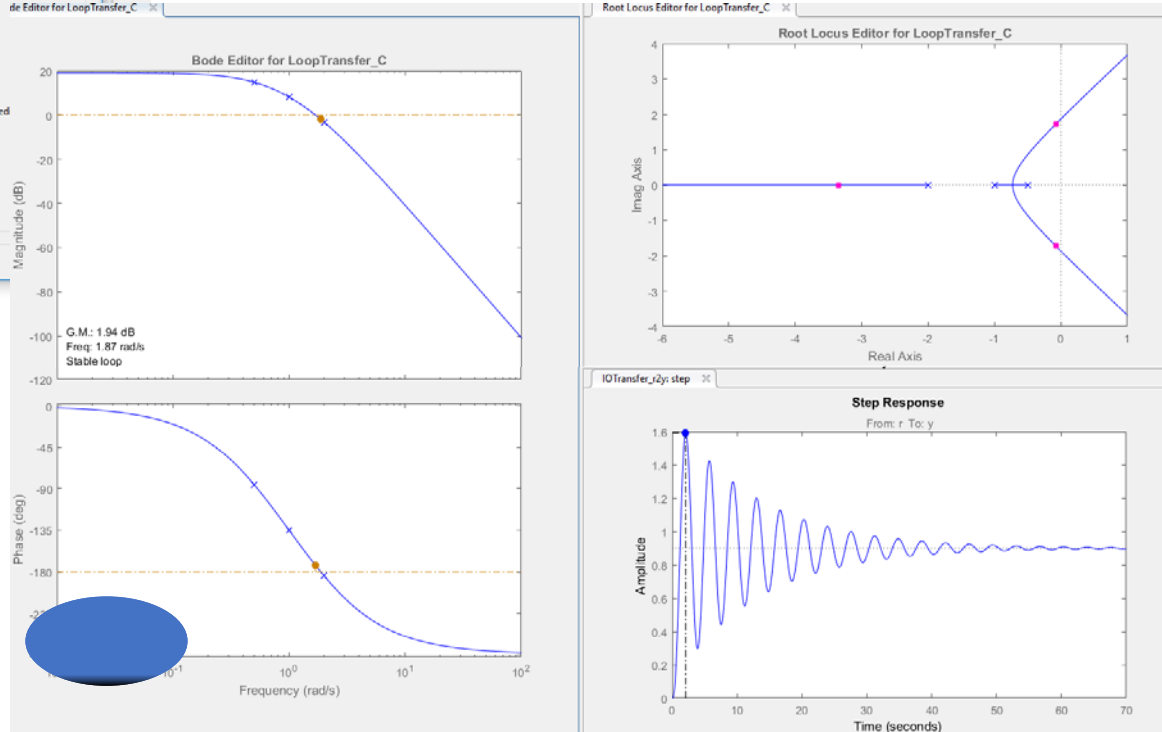
By fixing the gain to 9, and starting to change the zero location, PM can be adjusted to above 25 [deg] as required by the question. The current setting has a zero at -3.5, which resulted in 30 [deg] phase margin and 33.1 dB gain margin as seen in the following diagrams.

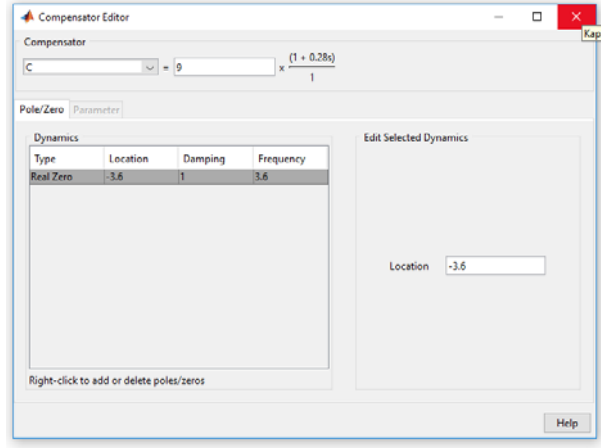
The design requires $K_p = 9$ and $K_d = -K_p / Z = -9 / -3.6 = 2.5$



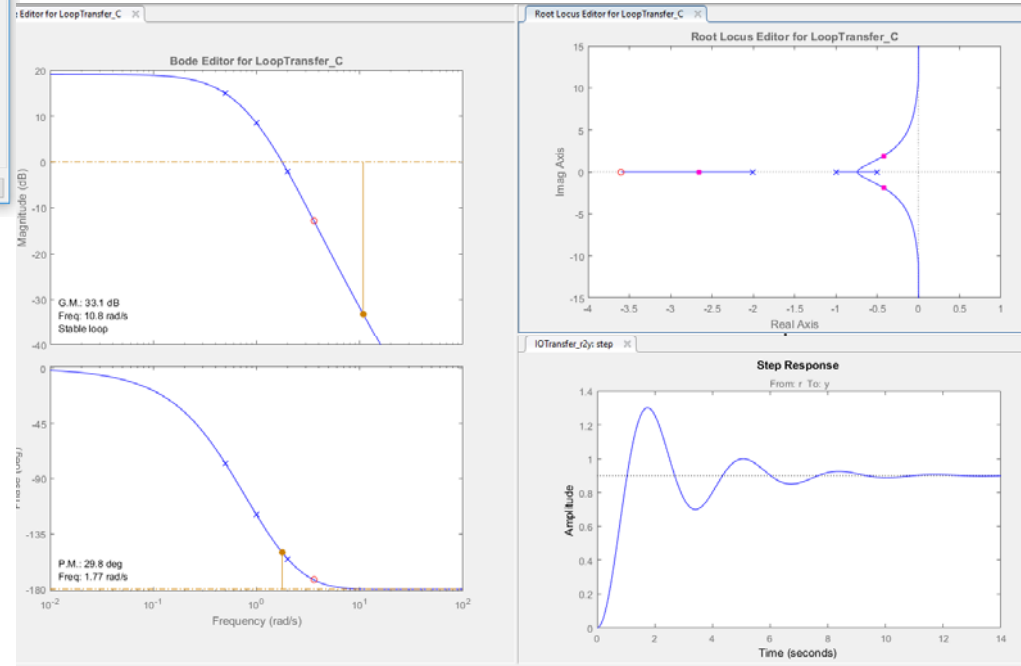


Kazanç değeri için C bloğu içerisine 9 yazıyoruz. Kazanç ile mevcut eğrilerin değiştiğini ancak dizayn için istenilen 25 derece faz kazancının sağlanmadığını görüyoruz.



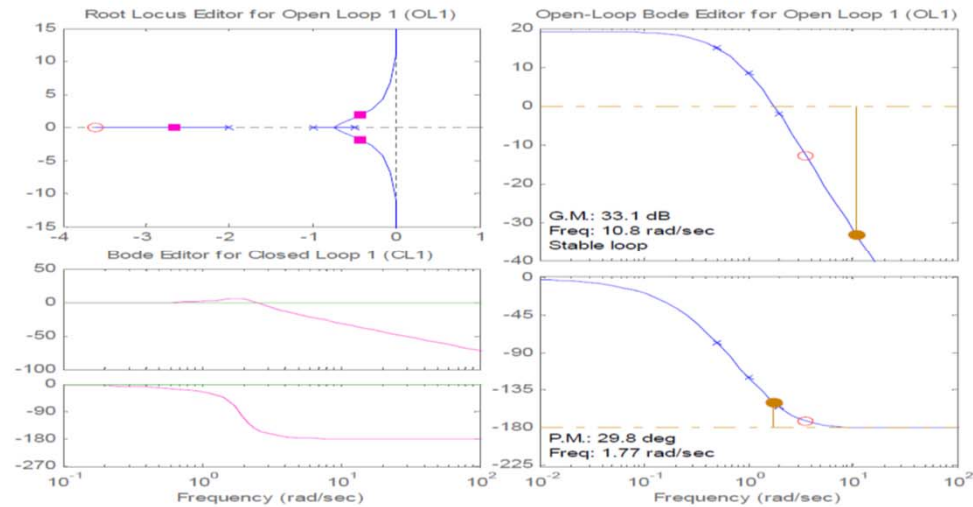


Kazanç değeri için C bloğu içerisine 9 ve gerçek sıfır kutubu için -3.6 değerini giriyoruz. Dizayn kriterini sağlamış oluyoruz. Farklı sıfır değerlerini girerek 25 dereceye yaklaşıldığını ya da uzaklaşıldığını görebilirsiniz. Aynı durumda farklı kutup ekleyerek de eğriler üzerinde değişimleri görebilirsiniz.



By fixing the gain to 9, and starting to change the zero location, PM can be adjusted to above 25 [deg] as required by the question. The current setting has a zero at -3.5, which resulted in 30 [deg] phase margin and 33.1 dB gain margin as seen in the following diagrams.

The design requires $K_p = 9$ and $K_d = -K_p / Z = -9 / -3.6 = 2.5$



Preliminary MATLAB code for 9-7:

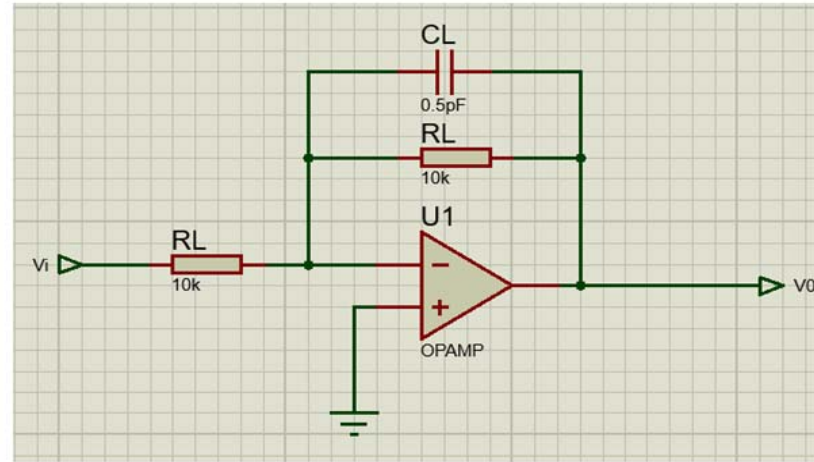
```
s = tf('s')
Kp = 1
num_GH = Kp * 1;
den_GH = (2*s+1) * (s+1) * (0.5*s+1);
```

```
GH = num_GH / den_GH;
```

```
CL = GH / (1 + GH)
```

```
Sisotool
```

Alçak Geçiren Filtrenin Transfer Fonksiyonunun Bulunması:



Kullanılan elemanların değerleri;

CH = CL = 0.5pf

RL = 10 k ohm

RH= 1 k ohm

Ro=2000 ohm;

Ri=1000 ohm;

R1=1000 ohm;

Rf=3000 ohm;

$$H(s) = \frac{V_o}{V_i} = -\frac{Z_o}{Z_i}$$

$$Z_i = R_L$$

$$Z_o = R_L // \frac{1}{j\omega C_L} = \frac{R_L}{1 + j\omega C_L R_L}$$

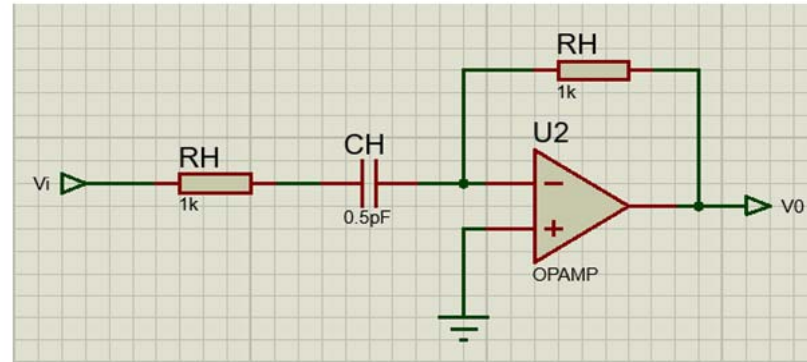
Transfer Fonksiyonu

$$H(s) = -\frac{R_L}{R_L} * \frac{1}{1 + j\omega C_L R_L}$$

Kesim Frekansı

$$W = \frac{1}{R_L * C_L}$$

Yüksek Geçiren Filtrenin Transfer Fonksiyonunun Bulunması:



Kullanılan elemanların
değerleri;

CH = CL = 0.5pf

RL = 10 k ohm

RH= 1 k ohm

Ro=2000 ohm;

Ri=1000 ohm;

R1=1000 ohm;

Rf=3000 ohm;

$$H(s) = \frac{V_0}{V_i} = -\frac{Z_0}{Z_i}$$

$$Z_i = R_H + \frac{1}{j\omega C_H}$$

$$Z_0 = R_H$$

Transfer Fonksiyonu

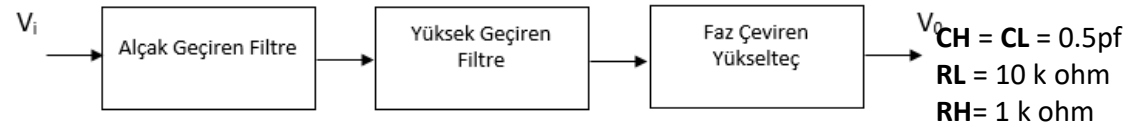
$$H(s) = \frac{j\omega C_H R_H}{1 + j\omega C_H R_H}$$

Kesim Frekansı

$$\omega = \frac{1}{R_H * C_H}$$

Band Geçiren Filtrenin Transfer Fonksiyonunun Bulunması:

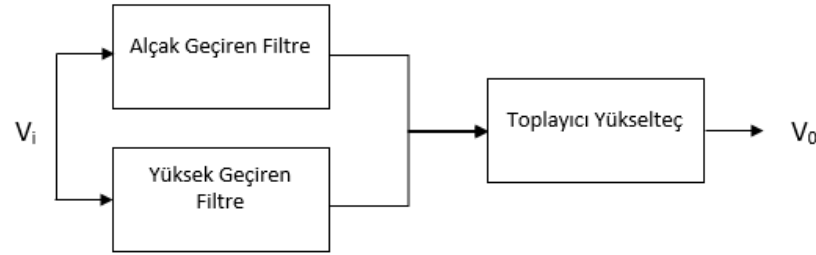
Kullanılan elemanların
değerleri;



$$H(s) = \frac{V_o}{V_i} = \underbrace{\left(-\frac{1}{1 + j\omega C_L R_L} \right)}_{\text{AGF}} * \underbrace{\left(-\frac{j\omega C_H R_H}{1 + j\omega C_H R_H} \right)}_{\text{YGF}} * \underbrace{\left(-\frac{R_o}{R_i} \right)}_{\text{Faz Çeviren}}$$

$R_o = 2000 \text{ ohm};$
 $R_i = 1000 \text{ ohm};$
 $R_1 = 1000 \text{ ohm};$
 $R_f = 3000 \text{ ohm};$

Band Durduran Filtrenin Transfer Fonksiyonunun Bulunması:



Kullanılan elemanların değerleri;

CH = CL = 0.5pf

RL = 10 k ohm

RH= 1 k ohm

$$H(s) = \frac{V_0}{V_i} = \left(-\frac{R_f}{R_1}\right) * \left[\underbrace{\left(-\frac{1}{1 + j\omega C_L R_L}\right)}_{\text{AGF}} + \underbrace{\left(-\frac{j\omega C_H R_H}{1 + j\omega C_H R_H}\right)}_{\text{YGF}} \right]$$

Ro=2000 ohm;

Ri=1000 ohm;

R1=1000 ohm;

Rf=3000 ohm;

MATLAB KODU

```
a = 4;
RL=10000*a;
RH=1000*a;
CH=0.5*10^-6;
CL=0.5*10^-6;
Ro=2000;
Ri=1000;
R1=1000;
Rf=3000;

s = tf('s'); % s domaininde tanımlamak için

Wcl= 1 / ( RL * CL ) % alçak geçirenin kesim frekansı
Wch= 1 / ( RH * CH ) % yüksek geçirenin kesim
frekansı
Wo= sqrt(Wcl*Wch) % Band geçirenin kesim frekansı
```

```
%Alçak Geçiren Filtre - Transfer fonksiyonu
Hag=(-1*(1/(1+(s * Wcl * CL * RL))))
figure(1);
bode(Hag)
%Yüksek Geçiren Filtre - Transfer fonksiyonu
Hyg=( -1 * ((s * Wch * CH * RH ) /(1+(s * Wcl * CH * RH))))
figure(2);
bode(Hyg)
%-----% band geçiren
Hbg= ( - Ro/Ri ) * Hag * Hyg

% band durduran
Hbd= ( - Rf/R1 ) * ( Hag + Hyg )

% Bode diyagramları
figure(3);
bode(Hbd) % band durduran

figure(4);
bode(Hbg) % band geçiren
```

%Alçak Geçiren Filtre - Transfer fonksiyonu

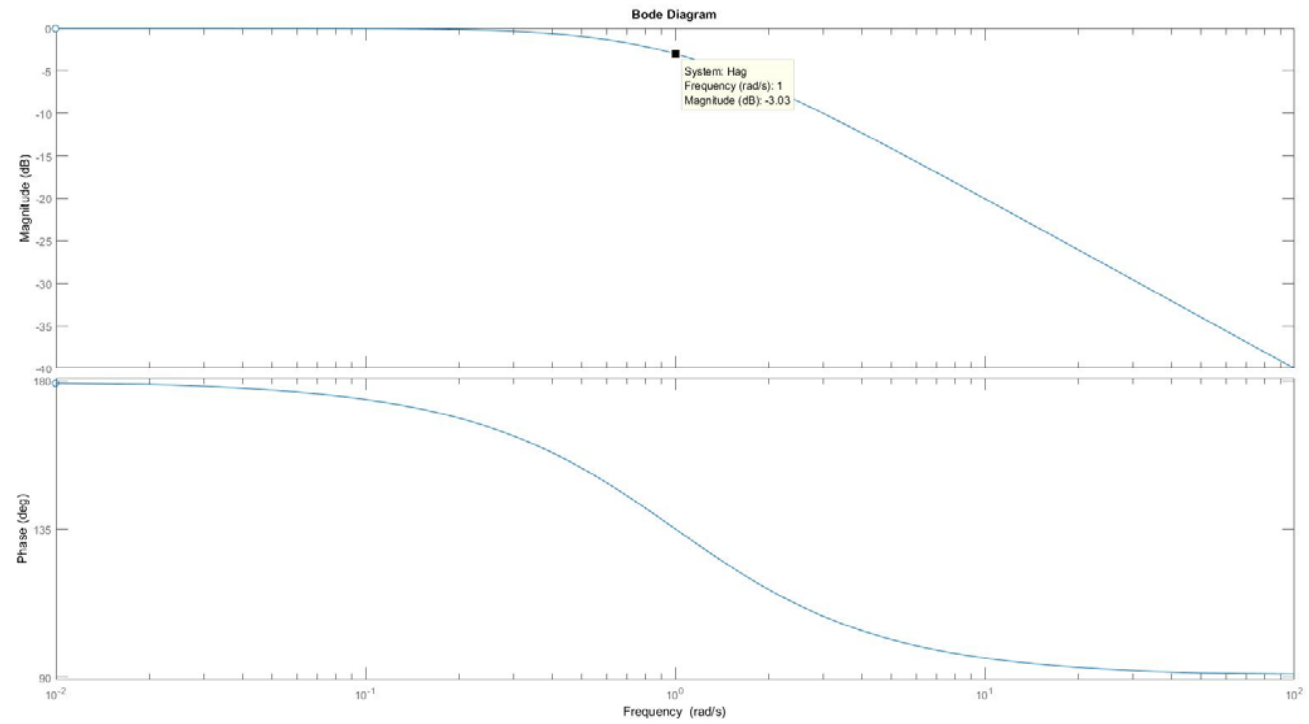
$$Hag=(-1*(1/(1+(s * Wcl * CL * RL))))$$

Wcl = 50
Wch = 500
Wo = 158.1139

$$Hag = \frac{-1}{s + 1}$$

$$Hbg = \frac{-2s}{0.1s^2 + 1.1s + 1}$$

$$Hbd = \frac{3s^2 + 3.3s + 3}{0.1s^2 + 1.1s + 1}$$



Wcl = 50
Wch = 500
Wo = 158.1139

Hag =
-1

s + 1
Hyg =
-s

0.1 s + 1

Hbg =
-2 s

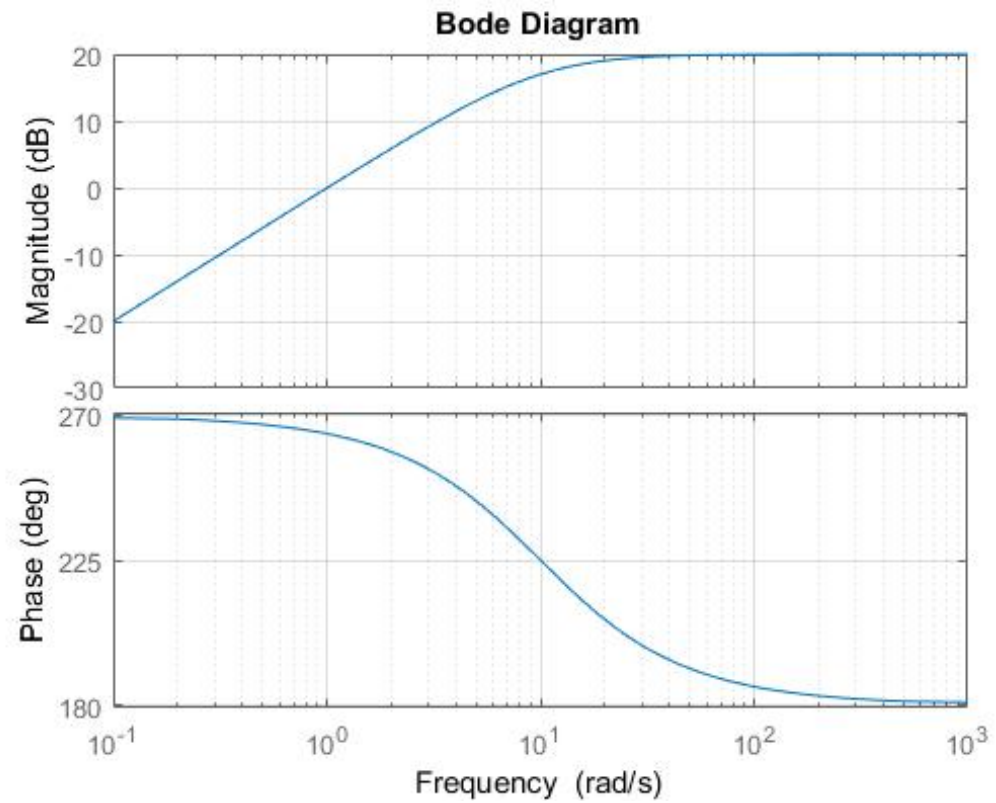
0.1 s^2 + 1.1 s + 1

Hbd =
3 s^2 + 3.3 s + 3

0.1 s^2 + 1.1 s + 1

%Yüksek Geçiren Filtre - Transfer fonksiyonu

Hyg= (-1 * ((s * Wch * CH * RH) /(1+(s * Wcl * CH * RH))))



Wcl = 50
Wch = 500
Wo = 158.1139

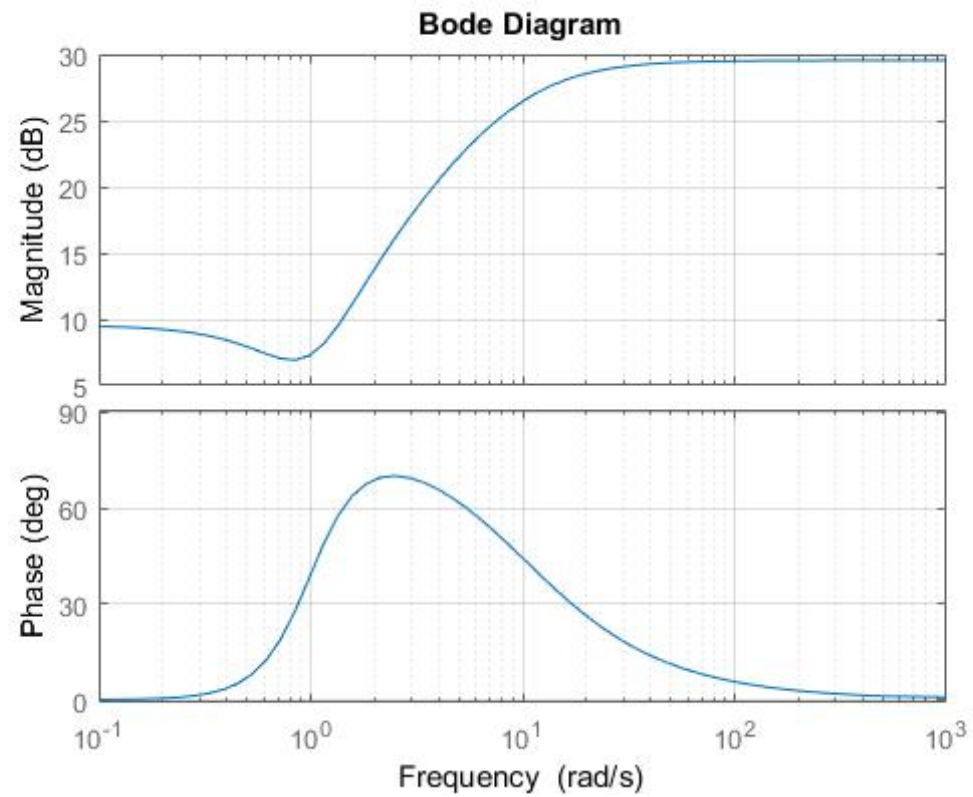
Hag =
 $\frac{-1}{s+1}$
Hyg =
 $\frac{-s}{0.1s+1}$

Hbg =
 $\frac{-2s}{0.1s^2 + 1.1s + 1}$

Hbd =
 $\frac{3s^2 + 3.3s + 3}{0.1s^2 + 1.1s + 1}$

% band durduran

Hbd= (- Rf/R1) * (Hag + Hyg)



Wcl = 50
Wch = 500
Wo = 158.1139

Hag =
-1

s + 1
Hyg =
-s

0.1 s + 1

Hbg =
-2 s

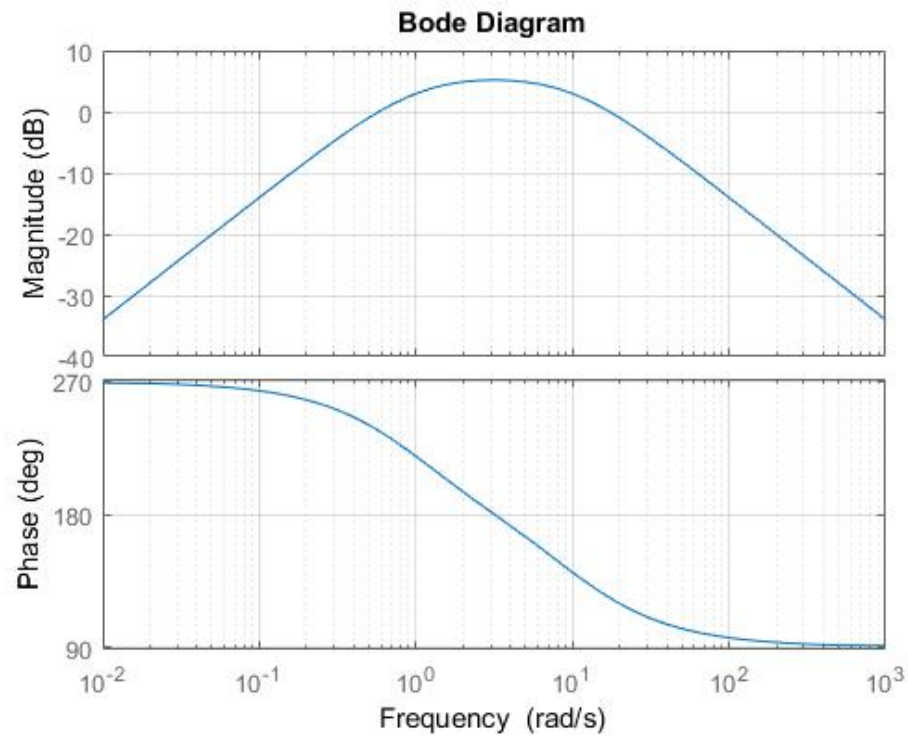
0.1 s^2 + 1.1 s + 1

Hbd =
3 s^2 + 3.3 s + 3


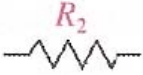

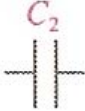
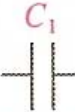


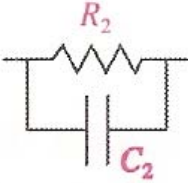
0.1 s^2 + 1.1 s + 1


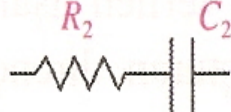
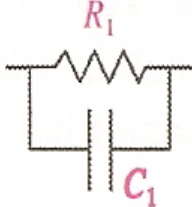
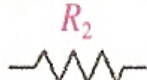
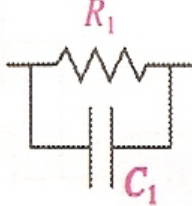
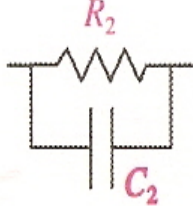
%-----% band geçiren

Hbg= (- Ro/Ri) * Hag * Hyg



Tablo 4-1 İşaret Değiştirici İşlemsel Kuvvetlendirici Transfer Fonksiyonları

	Giriş Elemanı	Geribesleme Elemanı	Transfer Fonksiyonu	Açıklamalar
(a)	 $Z_1 = R_1$	 $Z_2 = R_2$	$-\frac{R_2}{R_1}$	İşaret değiştirici kazanç, örneğin $R_1 = R_2$ için $e_0 = -e_i$ (evirici)
(b)	 $Z_1 = R_1$	 $Y_2 = sC_2$	$\left(\frac{-1}{R_1 C_2} \right) \frac{1}{s}$	Koordinat merkezinde kutup, ya da bir integratör.
(c)	 $Y_1 = sC_1$	 $Z_2 = R_2$	$(-R_2 C_1) s$	Koordinat merkezinde sıfır, ya da bir türev alıcı.
(d)	 $Z_1 = R_1$	 $Y_2 = \frac{1}{R_2} + sC_2$	$\frac{-\frac{1}{R_1 C_2}}{s + \frac{1}{R_2 C_2}}$	$\frac{-1}{R_2 C_2}$ 'de kutup, doğru akım kazancı $-R_2/R_1$.

	Giriş Elemanı	Geribesleme Elemanı	Transfer Fonksiyonu	Açıklamalar
(e)	 $Z_1 = R_1$	 $Z_2 = R_2 + \frac{1}{sC_2}$	$\frac{-R_2}{R_1} \left(\frac{s + 1/R_2C_2}{s} \right)$	Koordinat merkezinde bir kutup ve $-1/R_2C_2$ 'de bir sıfır, ya da PI kontrolörü.
(f)	 $Y_1 = \frac{1}{R_1} + sC_1$	 $Z_2 = R_2$	$-R_2C_1 \left(s + \frac{1}{R_1C_1} \right)$	$-1/R_1C_1$ 'de bir sıfır, ya da PD kontrolörü.
(g)	 $Y_1 = \frac{1}{R_1} + sC_1$	 $Y_2 = \frac{1}{R_2} + sC_2$	$\frac{-C_1}{C_2} \left(s + \frac{1}{R_1C_1} \right) \frac{1}{s + \frac{1}{R_2C_2}}$	$-1/R_2C_2$ 'de bir kutup ve $-1/R_1C_1$ 'de bir sıfır ya da faz ilerlemeli gerilemeli kontrolör.

$$G_c(s) = \frac{E_o(s)}{E_{in}(s)} = \frac{R_2}{R_1} + \frac{R_2}{R_1 C_2 s} \quad (9-25)$$

Comparing Eq. (9-24) with Eq. (9-25), we have

$$K_P = \frac{R_2}{R_1} \quad K_I = \frac{R_2}{R_1 C_2} \quad (9-26)$$

The transfer function of the three-op-amp circuit in Fig. 9-16(b) is

$$G_c(s) = \frac{E_o(s)}{E_{in}(s)} = \frac{R_2}{R_1} + \frac{1}{R_1 C_1 s} \quad (9-27)$$

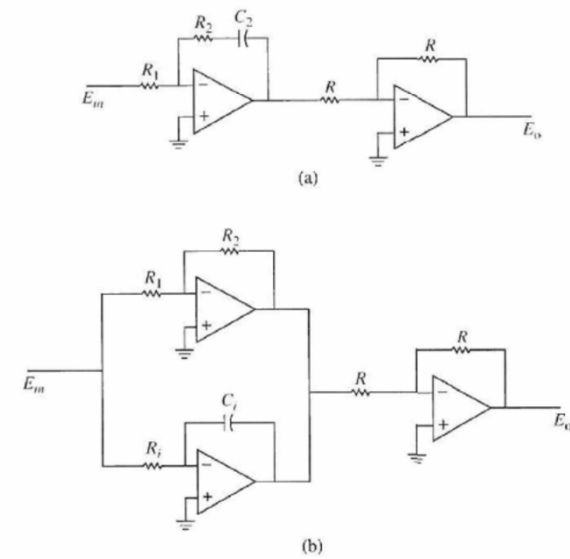


Figure 9-16 Op-amp-circuit realization of the PI controller, $G_c(s) = K_P + \frac{K_I}{s}$.
(a) Two-op-amp circuit.
(b) Three-op-amp circuit.

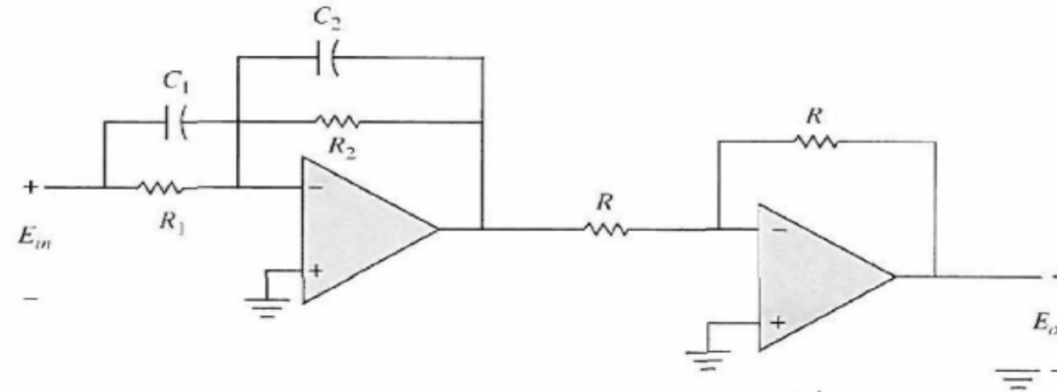


Figure 9-26 Op-amp circuit implementation of $G(s) = K_c \frac{s + z_1}{s + p_1}$.

$$G_c(s) = \frac{E_o(s)}{E_{in}(s)} = \frac{C_1}{C_2} \frac{s + \frac{1}{R_1 C_1}}{s + \frac{1}{R_2 C_2}} \quad (9-60)$$

Comparing the last two equations, we have

$$\begin{aligned} K_c &= C_1 / C_2 \\ z_1 &= 1 / R_1 C_1 \\ p_1 &= 1 / R_2 C_2 \end{aligned} \quad (9-61)$$

We can reduce the number of design parameters from four to three by setting $C = C_1 = C_2$. Then Eq. (9-60) is written as

$$\begin{aligned} G_c(s) &= \frac{R_2}{R_1} \left(\frac{1 + R_1 C s}{1 + R_2 C s} \right) \\ &= \frac{1}{a} \left(\frac{1 + a T s}{1 + T s} \right) \end{aligned} \quad (9-62)$$

